

АРГАНІЧНАЯ ХІМІЯ
ORGANIC CHEMISTRY

УДК 547.518+547.78+547.775+547.556.7
<https://doi.org/10.29235/1561-8331-2025-61-3-206-217>

Поступила в редакцию 14.11.2023
Received 14.11.2023

**Е. А. Дикусар, Е. А. Акишина, С. С. Ковальская,
Н. А. Жуковская, В. И. Поткин**

*Институт физико-органической химии Национальной академии наук Беларусь,
Минск, Беларусь*

**4,5-ДИХЛОРИЗОТИАЗОЛ-3-КАРБОКСИЛАТЫ И ПИРИДИНСОДЕРЖАЩИЕ
ПРОИЗВОДНЫЕ БЕНЗОЦИКЛОПЕНТАХИНОЛИНОВ И БЕНЗАКРИДИНОВ:
СИНТЕЗ И КВАНТОВО-ХИМИЧЕСКОЕ МОДЕЛИРОВАНИЕ
ФИЗИКО-ХИМИЧЕСКИХ СВОЙСТВ И ЗАВИСИМОСТИ
СТРУКТУРА-БІОЛОГІЧЕСКАЯ АКТИВНОСТЬ**

Аннотация. Бензоклопентахинолины и бензакридины получали путем реакции каскадной трехкомпонентной конденсации замещенных альдегидов, 1,3-циклоалкилдикетонов и 2-нафтиламина или 1,5-диаминонафталаина с выходом 60–88 %. Синтезированные полиазотистые гетероциклические соединения представляют интерес для биотестирования на различные виды биологической активности и в качестве объемных лигандов для получения на их основе металлокомплексов – перспективных катализаторов реакций кросс-сочетания. Методом квантово-химического моделирования путем проведения неэмпирических расчетов с уровнем теории HF/6-31G была проведена полная оптимизация геометрических параметров и определена электронная структура 18 сложных эфиров 4,5-дихлортиазолкарбоновой кислоты с замещенными бензоклопентахинолинами и бензакридинами.

Ключевые слова: замещенные альдегиды, 1,3-циклоалкилдикетоны, сложные эфиры 4,5-дихлортиазолкарбоновой кислоты, 2-нафтиламин, 1,5-диаминонафталаин, каскадная трехкомпонентная конденсация, бензоклопентахинолины, бензакридины, бисбензакридины, квантово-химическое моделирование, неэмпирические расчеты, метод Фукси

Для цитирования. 4,5-дихлортиазол-3-карбоксилаты и пиридинсодержащие производные бензоклопентахинолинов и бензакридинов: синтез и квантово-химическое моделирование физико-химических свойств и зависимости структура-биологическая активность / Е. А. Дикусар, Е. А. Акишина, С. С. Ковальская [и др.] // Весці Нацыянальнай акадэміі навук Беларусі. Серыя хімічных навук. – 2025. – Т. 61, № 3. – С. 206–217. <https://doi.org/10.29235/1561-8331-2025-61-3-206-217>

E. A. Dikusar, E. A. Akishina, S. S. Koval'skaya, N. A. Zhukovskaya, V. I. Potkin

Institute of Physical Organic Chemistry of the National Academy of Sciences of Belarus, Minsk, Belarus

**4,5-DICHLOROTHIAZOLE-3-CARBOXYLATES AND PYRIDINE-CONTAINING DERIVATIVES
OF BENZOCYCLOPENTAQUINOLINES AND BENZACRIDINES: SYNTHESIS
AND QUANTUM-CHEMICAL MODELING OF PHYSICOCHEMICAL PROPERTIES
AND DEPENDENCE STRUCTURE-BIOLOGICAL ACTIVITY**

Abstract. Benzocyclopentaquinolines and benzacridines were obtained via cascade three-component condensation of substituted aldehydes, 1,3-cycloalkylidiketones and 2-naphthylamine or 1,5-diaminonaphthalene with a yield of 60–88 %. The synthesized polynitrogen heterocyclic compounds are of interest for biotesting for various types of activity and also as bulk ligands for obtaining metal complexes – promising catalysts for cross-combination reactions. Using the quantum chemical modeling method by conducting nonempirical calculations with a theory level of HF/6-31G, a complete optimization of geometric parameters was carried out and the electronic structure of 18 esters of 4,5-dichlorothiazole carboxylic acid with substituted benzocyclopentaquinolines and benzoacridines was determined.

Keywords: substituted aldehydes, 1,3-cycloalkylidiketones, esters of 4,5-dichlorothiazole carboxylic acid, 2-naphthylamine, 1,5-diaminonaphthalene, cascade three-component condensation, benzocyclopentaquinolines, benzacridines, bisbenzacridines, quantum chemical-modeling, nonempirical calculations, Fukui method

For citations. Dikusar E. A., Akishina E. A., Zhukovskaya N. A., Koval'skaya S. S., Potkin V. I. 4,5-dichlorothiazole-3-carboxylates and pyridine-containing derivatives of benzocyclopentaquinolines and benzacridines: synthesis and quantum-chemical modeling of physicochemical properties and dependence structure–biological activity. *Vestsi Natsiyanal'nai akademii navuk Belarusi. Seriya khimichnykh navuk = Proceedings of the National Academy of Sciences of Belarus. Chemical series*, 2025, vol. 61, no. 3, pp. 206–217 (in Russian). <https://doi.org/10.29235/1561-8331-2025-61-3-206-217>

Введение. Ранее мы сообщали о синтезе производных бисакридина, содержащих пиридиновые и 1,2-азольные фрагменты [1], пиридинсодержащих бензоцикlopентахинолинах, бензакридинах и их четвертичных солях [2]. Высокий интерес к функционально замещенным ароматическим конденсированным гетероциклическим системам обусловлен высоким потенциалом их биологической активности [3–14].

Схема 1

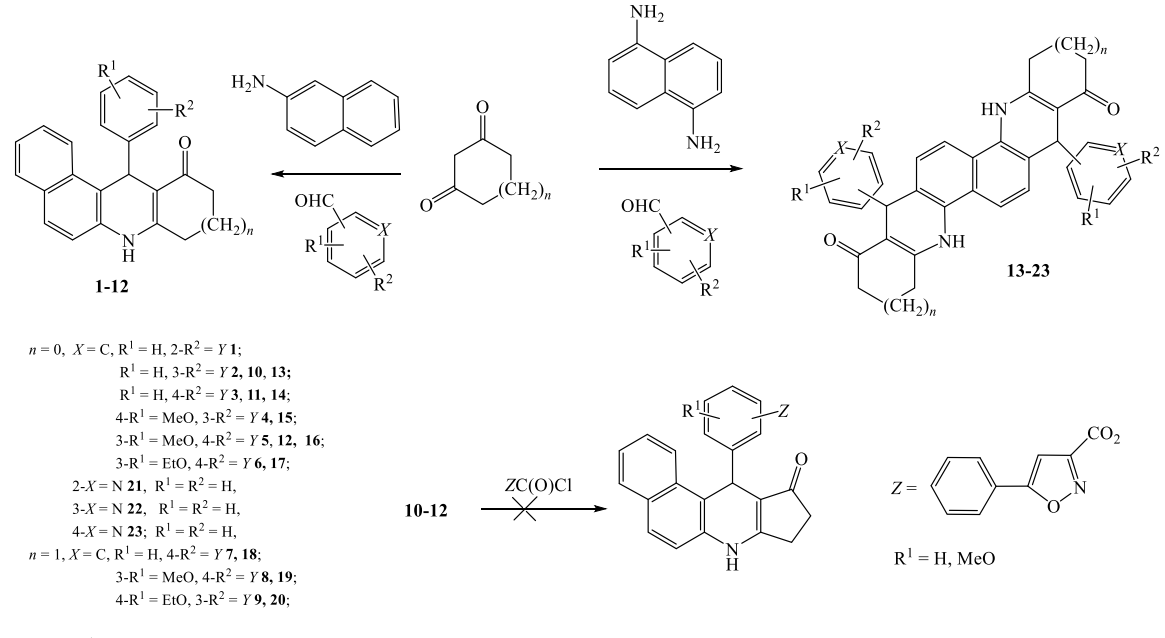
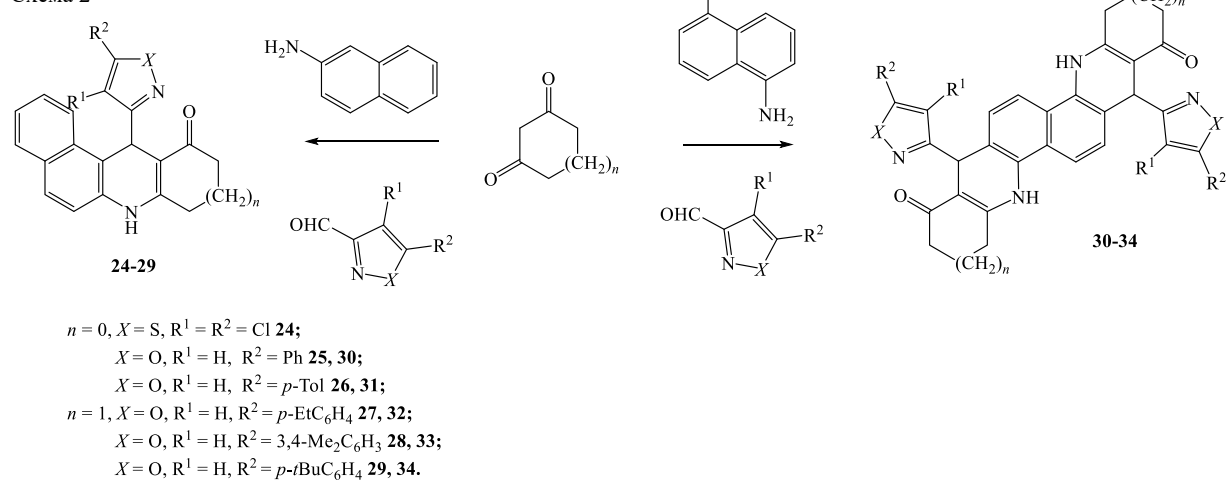


Схема 2



Бензоцикlopентахинолины и бензакридины (**1–34**) получали путем реакции каскадной трехкомпонентной конденсации замещенных альдегидов, 1,3-циклоалкилдикетонов и 2-нафтиламина или 1,5-диаминонафтилина с выходом 60–88 % (схемы 1, 2).

Попытки ацилировать фенолы **10–12** хлорангидридом 5-фенилизоксазол-3-карбоновой кислоты в растворе дихлорметана в присутствии триэтиламина или в растворе пиридина успеха не имели. Сложные эфиры синтезировать не удалось (см. схему 1).

Методом квантово-химического моделирования путем проведения неэмпирических расчетов с уровнем теории HF/6-31G [15] была проведена полная оптимизация геометрических параметров и определена электронная структура 18 сложных эфиров 4,5-дихлортиазолкарбоновой кислоты с замещенными бензоциклопентахинолинами и бензакридинами (соединения **1–9, 35–43**) (табл. 1). В ходе анализа разности энергий высшей занятой молекулярной орбитали (ВЗМО) и низшей вакантной молекулярной орбитали (НВМО) по методу Фукуи [16] вычислены наиболее (соединение **9**) и наименее (соединение **7**) перспективные эфиры для проведения их биологического тестирования:

$$\Delta F = |E_{\text{ВЗМО}} - E_{\text{НВМО}}|,$$

где ΔF – разность энергий ВЗМО и НВМО, $E_{\text{ВЗМО}}$ – энергия высшей занятой молекулярной орбитали, $E_{\text{НВМО}}$ – энергия низшей вакантной молекулярной орбитали.

Квантово-химическое моделирование показало, что наиболее термодинамически устойчивыми (максимальная величина полной энергии системы со знаком «», E_p , выраженная в атомных единицах) являются *мета*-изомеры исследованных соединений (**2, 4, 36, 37, 39, 41**).

Дипольные моменты исследованных соединений хорошо коррелируют с пространственным расположением сложноэфирных заместителей в ароматическом фрагменте и имеют максимальное значение у *пара*-изомеров (**3, 5–9, 40, 42, 43**).

Таблица 1. Полные энергии системы (E_p), энергии высших занятых молекулярных орбиталей ($E_{\text{ВЗМО}}$) и низших вакантных молекулярных орбиталей ($E_{\text{НВМО}}$), разности энергий ВЗМО и НВМО (ΔF), дипольные моменты (Д. м.) соединений **1–9, 35–43**

Table 1. Total system energies (E_p), energy of highest occupied molecular orbitals (E_{HOMO}) and lowest unoccupied molecular orbitals (E_{LUMO}), energy differences of HOMO and LUMO (ΔF), dipole moments (D. m.) of compounds **1–9, 35–43**

№	E_p а. е.	$E_{\text{ВЗМО}}$, eV	$E_{\text{НВМО}}$, eV	ΔF , eV	Д. м., D	Структура
Производные 1,3-цикlopентандиона						
1	–2 643,2 003 100 939	–8,3376342	2,21 230 308	11,3 064 198	8,26	<i>ортого</i> -
2	–2 643,2 038 354 035	–7,6 001 999	1,60 276 324	9,20 296 312	7,49	<i>мета</i> -
3	–2 643,1 947 145 573	–8,5 281 154	2,21 230 308	10,74 041 852	9,34	<i>пара</i> -
4	–2 757,0 267 471 819	–7,6 655 077	1,7279 366	9,39 344 432	8,08	<i>изованилин</i>
5	–2 757,0 226 429 053	–7,7716 330	2,2177 454	9,98 937 836	10,11	<i>ванилин</i>
6	–2 796,0 471 795 104	–8,4791 346	2,2531 2048	10,73 225 504	9,29	<i>ванилаль</i>
Производные 1,3-циклогександиона						
35	–2 682,2 216 874 297	–7,4 804 689	1,89 392 736	9,374 396 244	8,72	<i>ортого</i> -
36	–2 682,2 249 508 243	–7,5 729 883	1,66 262 876	9,23 561 704	7,61	<i>мета</i> -
7	–2 682,2 154 647 886	–7,6 519 019	3,7415 950	11,39 349 692	8,88	<i>пара</i> -
37	–2 796,0 477 198 763	–7,5 321 709	2,94 429 512	10,476 466	8,23	<i>изованилин</i>
8	–2 796,0 433 378 572	–7,6 546 231	2,8164 006	10,47102 368	9,77	<i>ванилин</i>
9	–2 835,0 678 613 270	–7,6 246 903	1,55 922 468	9,183 915	9,05	<i>ванилаль</i>
Производные 5,5-диметилциклогексан-1,3-диона						
38	–2 760,2 590 627 052	–7,4 695 842	1,90 753 316	9,377 11736	8,76	<i>ортого</i> -
39	–2 760,2 618 381 079	–7,5 566 132	2,381 015	9,93 767 632	6,71	<i>мета</i> -
40	–2 760,2 530 488 318	–7,6 437 384	2,57 965 968	10,22 339 812	8,90	<i>пара</i> -
41	–2 874,0 851 925 387	–7,5 240 074	1,83 134 068	9,35 534 748	8,18	<i>изованилин</i>
42	–2 874,0 808 789 669	–7,6 491 808	2,9116 412	10,56 082 196	9,85	<i>ванилин</i>
43	–2 913,1 054 053 154	–8,3 784 516	2,31 570 716	10,6 941 588	9,18	<i>ванилаль</i>

Экспериментальная часть. ИК-спектры полученных соединений записаны на Фурье-спектрофотометре Protege-460 фирмы Nicolet с приготовлением образцов в виде таблеток с KBr. Спектры ЯМР ^1H и ^{13}C сняты на спектрометре Bruker Avance-500 или Bruker Avance II 400 в ДМСО- d_6 и Ру- d_5 относительно остаточных сигналов растворителя [ДМСО- d_6 , δ_{H} 2,50, δ_{C} 40,1 м. д.; Ру- d_5 , δ_{H} 8,50, δ_{C} 133,7 м. д.]. ВЭЖХ-МС исследования были выполнены с использованием жидкостного хроматографа Agilent 1200 с масс-селективным детектором Agilent 6410 Triple Quad в режиме Positive ESI MS2 Scan. Колонка ZORBAX Eclipse XDB-C18 (4,6 × 50 мм; 1,8 мкм). Мобильная фаза: вода, содержащая 0,05 % (v/v) муравьиной кислоты – ацетонитрил (от 40 до 90 % за 10 мин). Скорость элюирования 0,5 мл/мин. Элементный анализ C,H,N,S-содержащих соединений выполнялся на CHNS-анализаторе Vario MICRO cube V1.9.7. Контроль за ходом реакций и чистотой полученных соединений осуществлен методом ТСХ на пластинах Merck Silica gel 60 F₂₅₄. Синтез и физико-химические характеристики соединений **40–43** были опубликованы ранее [17].

Бензоцикlopентахинолины и бензакридины 1–12, 24–29 (общая методика). К раствору 5 ммоль формилфенил-4,5-дихлоризотиазол-3-карбоксилата или гидроксибензальдегида в 30 мл бутанола последовательно прибавляли 0,72 г (5 ммоль) 2-нафтиламина и 0,5 г (5 ммоль) 1,3-циклоалканиона. Смесь кипятили 8 ч, после чего охлаждали и выдерживали при 5 °C 10–12 ч. Выпавший осадок отфильтровывали на стеклянном фильтре Шотта, промывали охлажденным бутанолом и сушили на воздухе при 50 °C 10–12 ч.

2-(10-Оксо-8,9,10,11-тетрагидро-7Н-бензо[*f*]цикlopента[*b*]хинолин-11-ил)фенил 4,5-дихлоризотиазол-3-карбоксилат (1). Выход 65 %, т. пл. 299–230 °C. ИК-спектр, ν , см⁻¹: 3 240, 3 176 (NH), 3 083, 3 025, 2 923, 1 753 (C=O), 1 667, 1 610, 1 587, 1 522, 1 500, 1 466, 1 399, 1 205, 1 189, 961, 811, 744, 731 Спектр ЯМР ^1H (DMSO- d_6 , м. д.): 2,19 м (2H, 2 8-H), 2,62 м (2H, 2 9-H), 5,97 с (1H, 11-H), 7,06 д (1H, J 8,5 Гц), 7,16 м (3H), 7,30 м (2H), 7,37 т (1H, 2 J 7,5 Гц), 7,76 д (1H, J 9 Гц), 7,79 д (1H, J 7,5 Гц), 7,90 д (1H, J 8,5 Гц), 10,09 с (1H, NH). Спектр ЯМР ^{13}C (DMSO- d_6 , м. д.): 24,4 (C-8), 32,8 (C-9), 38,9 (11-CH), 111,4 (C_{четв.}), 114,6 (C_{четв.}), 117,0 (CH), 122,1 (CH), 122,5 (CH), 123,2 (CH), 124,5 (C_{четв.}), 125,8 (CH), 126,3 (CH), 126,6 (CH), 128,0 (CH), 128,2 (CH), 130,1 (C_{четв.}), 130,4 (C_{четв.}), 131,3 (CH), 135,0 (C_{четв.}), 137,0 (C_{четв.}), 146,3 (C_{четв.}), 149,9 (C_{четв.}), 152,7 (C_{четв.}), 155,7 (C_{четв.}), 164,4 (COO), 199,1 (C=O). Масс-спектр, m/z ($I_{\text{отн.}}$, %): 507 [$M+\text{H}]^+$ (100). Найдено, %: C 61,81; H 3,30; Cl 13,62; N 4,91; S 5,98. $C_{26}\text{H}_{16}\text{Cl}_2\text{N}_2\text{O}_3\text{S}$. Вычислено, %: C 61,55; H 3,18; Cl 13,97; N 5,52; S 6,32. M 507,39.

3-(10-Оксо-8,9,10,11-тетрагидро-7Н-бензо[*f*]цикlopента[*b*]хинолин-11-ил)фенил 4,5-дихлоризотиазол-3-карбоксилат (2). Выход 57 %, т. пл. 163–164 °C. ИК-спектр, ν , см⁻¹: 3 240, 3 172 (NH), 3 083, 2 926, 1 757(C=O), 1 672, 1 631, 1 610, 1 583, 1 527, 1 506, 1 466, 1 396, 1 352, 1203, 1070, 967, 826, 750. Спектр ЯМР ^1H (DMSO- d_6 , м. д.): 2,31 м (2H, 2 8-H), 2,68 дт (1H, 2J 17 Гц, 2 3J 5 Гц, 9-H), 2,73 дт (1H, 2J 17 Гц, 2 3J 5 Гц, 9-H), 5,73 с (1H, 11-H), 7,03 м (2H), 7,17 д (1H, J 8 Гц), 7,27 д (1H, J 8,5 Гц), 7,32 м (2H), 7,39 т (1H, 2 J 8 Гц), 7,79 д (1H, J 8,5 Гц), 7,83 д (1H, J 8 Гц), 7,85 д (1H, J 9 Гц), 10,37 с (1H, NH). Спектр ЯМР ^{13}C (DMSO- d_6 , м. д.): 23,4 (C-8), 33,0 (C-9), 36,6 (11-CH), 112,1 (C_{четв.}), 114,4 (C_{четв.}), 117,1 (CH), 118,7 (CH), 119,7 (CH), 122,6 (CH), 123,4 (CH), 124,7 (C_{четв.}), 125,2 (CH), 126,5 (CH), 128,0 (CH), 128,5 (CH), 128,9 (CH), 130,2 (C_{четв.}), 131,2 (C_{четв.}), 135,1 (C_{четв.}), 147,8 (C_{четв.}), 149,4 (C_{четв.}), 150,1 (C_{четв.}), 152,2 (C_{четв.}), 156,3 (C_{четв.}), 164,5 (COO), 199,5 (C=O). Масс-спектр, m/z ($I_{\text{отн.}}$, %): 507 [$M+\text{H}]^+$ (100). Найдено, %: C 61,88; H 3,38; Cl 13,72; N 4,90; S 5,91. $C_{26}\text{H}_{16}\text{Cl}_2\text{N}_2\text{O}_3\text{S}$. Вычислено, %: C 61,55; H 3,18; Cl 13,97; N 5,52; S 6,32. M 507,39.

4-(10-Оксо-8,9,10,11-тетрагидро-7Н-бензо[*f*]цикlopента[*b*]хинолин-11-ил)фенил 4,5-дихлоризотиазол-3-карбоксилат (3). Выход 60 %, т. пл. 307–309 °C. ИК-спектр, ν , см⁻¹: 3 237, 3 177 (NH), 3 088, 2 913, 1 736 (C=O), 1 667, 1 625, 1 605, 1 585, 1 524, 1 501, 1 465, 1 396, 1 356, 1 216, 1 072, 964, 816, 750. Спектр ЯМР ^1H (DMSO- d_6 , м. д.): 2,30 м (2H, 2 8-H), 2,68 дт (1H, (1H, 2J 17 Гц, 2 3J 5 Гц, 9-H), 2,72 дт (1H, 2J 17 Гц, 2 3J 5 Гц, 9-H), 5,70 с (11-H), 7,09 д (2H, J 8,5 Гц), 7,26 д (2H, J 8,5 Гц), 7,31 т (1H, 2 J 7,5 Гц), 7,33 д (1H, J 9 Гц), 7,38 т (1H, 2 J 7,5 Гц), 7,79 д (1H, J 8,5 Гц), 7,82 д (1H, J 7,5 Гц), 7,85 д (1H, J 9 Гц), 10,36 с (1H, NH). Спектр ЯМР ^{13}C (DMSO- d_6 , м. д.): 23,6 (C-8), 33,3 (C-9), 36,4 (11-CH), 112,5 (C_{четв.}), 115,0 (C_{четв.}), 117,3 (CH), 120,9 (2 CH), 122,8 (CH), 123,5 (CH), 124,8 (C_{четв.}), 126,6 (CH), 128,2 (CH), 128,4 (2CH), 128,5 (CH), 130,4 (C_{четв.}), 131,4 (C_{четв.}), 135,2 (C_{четв.}), 144,3 (C_{четв.}), 147,5 (C_{четв.}), 150,4 (C_{четв.}), 152,4 (C_{четв.}), 156,8 (C_{четв.}), 164,5 (COO), 199,7 (C=O).

Масс-спектр, m/z ($I_{\text{отн}}$, %): 507 [$M+\text{H}]^+$ (100). Найдено, %: C 61,80; H 3,20; Cl 13,72; N 5,09; S 5,99. $C_{26}\text{H}_{16}\text{Cl}_2\text{N}_2\text{O}_3\text{S}$. Вычислено, %: C 61,55; H 3,18; Cl 13,97; N 5,52; S 6,32. M 507,39.

2-Метокси-5-(10-оксо-8,9,10,11-тетрагидро-7Н-бензо[*f*]цикlopента[*b*]хинолин-11-ил)фенил 4,5-дихлоризотиазол-3-карбоксилат (4). Выход 61 %, т. пл. 268–269 °C. ИК-спектр, ν , см^{-1} : 3 231, 3 161 (NH), 3 083, 2 924, 1 747 (C=O), 1 667, 1 629, 1 607, 1 583, 1 530, 1 504, 1 465, 1 399, 1 354, 1 255, 1 191, 1 177, 1 117, 1 070, 972, 813, 747. Спектр ЯМР ^1H (Py- d_5 , м. д.): 2,25 м (2H, 2 8-H), 2,36 м (1H, 9-H), 2,42 м (9-H), 3,51 с (3H, OMe), 6,25 с (1H, 11-H), 6,81 д (1H, J 8,5 Гц), 7,33 т (1H, 2 J 7,5 Гц), 7,41 т (1H, 2 J 7,5 Гц), 7,49 м (2H), 7,87 м (3H), 8,13 д (1H, J 8,5 Гц), 11,24 с (1H, NH). Спектр ЯМР ^{13}C (Py- d_5 , м. д.): 22,6 (C-8), 32,4 (C-9), 35,6 (11-CH), 54,0 (OCH₃), 111,1 (CH), 112,5 (C_{четв.}), 114,4 (C_{четв.}), 116,1 (CH), 120,8 (CH), 122,3 (CH), 122,5 (CH), 124,4 (C_{четв.}), 125,4 (CH), 125,5 (CH), 129,8 (C_{четв.}), 131,2 (C_{четв.}), 135,8 (C_{четв.}), 137,8 (C_{четв.}), 138,5 (C_{четв.}), 148,4 (C_{четв.}), 149,0 (C_{четв.}), 151,8 (C_{четв.}), 155,1 (C_{четв.}), 163,0 (COO), 198,8 (C=O). Масс-спектр, m/z ($I_{\text{отн}}$, %): 537 [$M+\text{H}]^+$ (100). Найдено, %: C 60,78; H 3,44; Cl 12,74; N 5,00; S 5,45. $C_{27}\text{H}_{18}\text{Cl}_2\text{N}_2\text{O}_4\text{S}$. Вычислено, %: C 60,34; H 3,38; Cl 13,19; N 5,21; S 5,97. M 537,41.

2-Метокси-4-(10-оксо-8,9,10,11-тетрагидро-7Н-бензо[*f*]цикlopента[*b*]хинолин-11-ил)фенил 4,5-дихлоризотиазол-3-карбоксилат (5). Выход 63 %, т. пл. 295–296 °C. ИК-спектр, ν , см^{-1} : 3 258, 3 180 (NH), 3 093, 3 019, 2 937, 1 754 (C=O), 1 660, 1 626, 1 607, 1 593, 1 586, 1 525, 1 505, 1 461, 1 396, 1 376, 1 346, 1 265, 1 198, 1 178, 1 111, 1 072, 1 030, 961, 875, 814, 755. Спектр ЯМР ^1H (DMSO- d_6 , м. д.): 2,33 м (2H, 2 8-H), 2,68 дт (1H, (1H, 2J 17 Гц, 2 3J 5 Гц, 9-H), 2,73 дт (1H, 2J 17 Гц, 2 3J 5 Гц, 9-H), 3,72 с (3H, OMe), 5,74 с (1H, 11-H), 6,48 дд (1H, 3J 8 Гц, 4J 1,5 Гц), 7,69 д (1H, J 8,5 Гц), 7,34 м (3H), 7,40 т (1H, 2 J 7,5 Гц), 7,84 м (3H), 10,37 с (1H, NH). Спектр ЯМР ^{13}C (DMSO- d_6 , м. д.): 23,9 (C-8), 33,6 (C-9), 37,1 (11-CH), 55,8 (OCH₃), 112,5 (CH), 112,7 (C_{четв.}), 117,6 (CH), 119,5 (CH), 122,2 (CH), 123,2 (CH), 123,9 (CH), 125,1 (C_{четв.}), 127,0 (CH), 128,5 (CH), 128,9 (CH), 130,7 (C_{четв.}), 131,9 (C_{четв.}), 135,6 (C_{четв.}), 136,4 (C_{четв.}), 138,5 (C_{четв.}), 146,0 (C_{четв.}), 149,0 (C_{четв.}), 150,0 (C_{четв.}), 151,0 (C_{четв.}), 152,4 (C_{четв.}), 156,6 (C_{четв.}), 165,0 (COO), 200,2 (C=O). Масс-спектр, m/z ($I_{\text{отн}}$, %): 537 [$M+\text{H}]^+$ (100). Найдено, %: C 60,70; H 3,41; Cl 12,98; N 5,02; S 5,40. $C_{27}\text{H}_{18}\text{Cl}_2\text{N}_2\text{O}_4\text{S}$. Вычислено, %: C 60,34; H 3,38; Cl 13,19; N 5,21; S 5,97. M 537,41.

2-Этокси-4-(10-оксо-8,9,10,11-тетрагидро-7Н-бензо[*f*]цикlopента[*b*]хинолин-11-ил)фенил 4,5-дихлоризотиазол-3-карбоксилат (6). Выход 52 %, т. пл. 240–241 °C. ИК-спектр, ν , см^{-1} : 3 266, 3 193 (NH), 3 101, 2 924, 1 749 (C=O), 1 667, 1 625, 1 608, 1 584, 1 523, 1 503, 1 467, 1 396, 1 352, 1 265, 1 196, 1 117, 1 070, 1 037, 961, 819, 746. Спектр ЯМР ^1H (Py- d_5 , м. д.): 1,12 т (3H, 2 J 7 Гц, CH₂CH₃), 2,29 м (1H, 8-H), 2,41 м (2H, 8-H + 9-H), 2,47 м (1H, 9-H), 4,01 к (2H, 3 J 7 Гц, CH₂CH₃), 6,29 с (1H, 11-H), 6,95 дд (1H, 3J 8 Гц, 4J 1,5 Гц), 7,29 с (1H, 2'-H), 7,34 т (1H, 2 J 7,5 Гц), 7,43 т (1H, 2 J 7,5 Гц), 7,51 д (1H, J 9 Гц), 7,90 м (2H), 7,95 д (1H, J 8,5 Гц), 8,16 д (1H, J 8,5 Гц), 10,29 с (1H, NH). Спектр ЯМР ^{13}C (Py- d_5 , м. д.): 12,9 (CH₂CH₃), 22,7 (C-8), 32,5 (C-9), 36,5 (11-CH), 62,8 (CH₂CH₃), 112,4 (C_{четв.}), 112,6 (CH), 114,4 (C_{четв.}), 116,2 (CH), 118,5 (CH), 121,0 (CH), 122,4 (CH), 122,6 (CH), 125,6 (CH), 127,1 (CH), 127,6 (CH), 129,8 (C_{четв.}), 131,4 (C_{четв.}), 135,1 (C_{четв.}), 136,2 (C_{четв.}), 144,8 (C_{четв.}), 148,4 (C_{четв.}), 148,7 (C_{четв.}), 149,1 (C_{четв.}), 152,3 (C_{четв.}), 155,6 (C_{четв.}), 163,2 (COO), 198,9 (C=O). Масс-спектр, m/z ($I_{\text{отн}}$, %): 541 [$M+\text{H}]^+$ (100). Найдено, %: C 61,46; H 3,78; Cl 12,39; N 4,81; S 5,42. $C_{28}\text{H}_{20}\text{Cl}_2\text{N}_2\text{O}_4\text{S}$. Вычислено, %: C 60,99; H 3,66; Cl 12,86; N 5,08; S 5,81. M 551,44.

4-(11-Оксо-7,8,9,10,11,12-гексагидробензо[*a*]акридин-12-ил)фенил 4,5-дихлоризотиазол-3-карбоксилат (7). Выход 58 %, т. пл. 293–295 °C. ИК-спектр, ν , см^{-1} : 3 260 (NH); 3 186, 3 088, 3 023, 2 945, 2 915, 2 863 (C—H_{алиф}), 1 741 (C=O), 1 595 (C=O), 1 581, 1 520, 1 500, 1 468, 1 398, 1 383, 1 353, 1 242, 1 215, 1 191, 963, 816, 748. Спектр ЯМР ^1H (500 МГц, DMSO- d_6), δ , м. д.: 1,74–1,88 м (1H, CH₂), 1,87–2,00 м (1H, CH₂), 2,17–2,35 м (2H, CH₂), 2,55–2,89 м (2H, CH₂), 5,90 с (1H, CH), 7,08 д (2H_{Ar}, J 8,5 Гц), 7,23–7,38 м (4H_{Ar}), 7,43 т (1H_{Ar}, J 7,5 Гц), 7,75–7,85 м (2H_{Ar}), 7,93 д (1H_{Ar}, J 8,4 Гц), 9,82 с (1H, NH). Спектр ЯМР ^{13}C (125 МГц, DMSO- d_6), δ , м. д.: 21,46 (CH₂), 27,37 (CH₂), 35,77 (CH), 37,26 (CH₂), 117,59 (1CH_{Ar}), 121,60 (2CH_{Ar}), 122,98 (1CH_{Ar}), 124,23 (1CH_{Ar}), 127,45 (1CH_{Ar}), 128,71 (1CH_{Ar}), 129,04 (1CH_{Ar}), 129,38 (2CH_{Ar}), 108,89, 116,62, 125,60, 130,98, 131,79, 134,98, 146,25, 148,18, 151,18, 153,23, 157,63, 168,54, 194,16 (13 C_{четв.}). Найдено, %: C 62,31; H 3,55; Cl 13,45; N 5,24; S 6,09. Масс-спектр, m/z ($I_{\text{отн}}$, %): 522,10 (100) [$M+\text{H}]^+$. $C_{27}\text{H}_{18}\text{Cl}_2\text{N}_2\text{O}_3\text{S}$. Вычислено, %: C 62,19; H 3,48; Cl 13,60; N 5,37; S 6,15. M 521,41.

2-Метокси-4-(11-оксо-7,8,9,10,11,12-гексагидобензо[а]акридин-12-ил)фенил 4,5-дихлоризотиазол-3-карбоксилат (8). Выход 55 %, т. пл. > 300 °C. ИК-спектр, ν , см⁻¹: 3 261 (NH); 3 183, 3 088, 3 053, 2 937, 2 864 (C—H_{аліф}), 1 745 (C=O), 1 594 (C=O), 1 580, 1 518, 1 493, 1 465, 1 396, 1 383, 1 360, 1 271, 1 235, 1 189, 1 118, 1 065, 1 031, 960, 819, 742. Спектр ЯМР ¹H (500 МГц, ДМСО-d₆), δ, м. д.: 1,76–1,89 м (1H, CH₂), 1,90–2,00 м (1H, CH₂), 2,27–2,35 м (2H, CH₂), 2,59–2,70 м (2H, CH₂), 3,71 с (3H, OMe), 5,93 с (1H, CH), 6,64 дд (1H_{Ar}, J 8,3, 1,7 Гц), 6,98 д (1H_{Ar}, J 8,3 Гц), 7,27 д (1H_{Ar}, J 1,7 Гц), 7,31 д (1H_{Ar}, J 7,3 Гц), 7,35 д (1H_{Ar}, J 8,8 Гц), 7,45 т (1H_{Ar}, J 7,4 Гц), 7,76–7,85 м (2H_{Ar}), 8,01 д (1H_{Ar}, J 8,5 Гц), 9,82 с (1H, NH). Спектр ЯМР ¹³C (125 МГц, ДМСО-d₆), δ, м. д.: 21,48 (CH₂), 27,40 (CH₂), 36,11 (CH), 37,28 (CH₂), 56,27 (OMe), 113,15 (1CH_{Ar}), 117,54 (1CH_{Ar}), 120,28 (1CH_{Ar}), 122,66 (1CH_{Ar}), 123,16 (1CH_{Ar}), 124,24 (1CH_{Ar}), 127,46 (1CH_{Ar}), 128,71 (1CH_{Ar}), 129,00 (1CH_{Ar}), 108,79, 116,56, 125,54, 130,98, 131,89, 135,00, 136,81, 147,65, 150,33, 151,44, 152,90, 153,32, 157,10, 194,26 (14 C_{четв}). Найдено, %: C 61,33; H 3,71; Cl 12,71; N 5,01; S 5,69. Масс-спектр, m/z ($I_{отн}$, %): 552,10 (100) [M+H]⁺. C₂₈H₂₀Cl₂N₂O₄S. Вычислено, %: C 60,99; H 3,66; Cl 12,86; N 5,08; S 5,81. M 551,44.

2-Этокси-4-(11-оксо-7,8,9,10,11,12-гексагидобензо[а]акридин-12-ил)фенил 4,5-дихлоризотиазол-3-карбоксилат (9). Выход 59 %, т. пл. > 300 °C. ИК-спектр, ν , см⁻¹: 3 262 (NH); 3 190, 3 086, 2 980, 2 950, 2 868 (C—H_{аліф}), 1 750 (C=O), 1 600 (C=O), 1 583, 1 520, 1 494, 1 471, 1 397, 1 386, 1 357, 1 267, 1 238, 1 193, 1 117, 1 070, 1 031, 962, 821, 752. Спектр ЯМР ¹H (500 МГц, ДМСО-d₆), δ, м. д.: 1,18 т (3H, OCH₂CH₃, J 7,0 Гц), 1,77–1,88 м (1H, CH₂), 1,90–2,00 м (1H, CH₂), 2,24–2,34 м (2H, CH₂), 2,58–2,70 м (2H, CH₂), 3,88–4,08 м (2H, OCH₂CH₃), 5,89 с (1H, CH), 6,63 дд (1H_{Ar}, J 8,2, 1,8 Гц), 6,97 д (1H_{Ar}, J 8,3 Гц), 7,22 д (1H_{Ar}, J 1,8 Гц), 7,30–7,36 м (2H_{Ar}), 7,41–7,47 м (1H_{Ar}), 7,78–7,84 м (2H_{Ar}), 7,99 д (1H_{Ar}, J 8,5 Гц), 9,81 с (1H, NH). Спектр ЯМР ¹³C (125 МГц, ДМСО-d₆), δ, м. д.: 14,93 (OCH₂CH₃), 21,49 (CH₂), 27,39 (CH₂), 36,08 (CH), 37,28 (CH₂), 64,47 (OCH₂CH₃), 114,26 (1CH_{Ar}), 117,53 (1CH_{Ar}), 120,24 (1CH_{Ar}), 122,58 (1CH_{Ar}), 123,15 (1CH_{Ar}), 124,24 (1CH_{Ar}), 127,45 (1CH_{Ar}), 128,70 (1CH_{Ar}), 129,01 (1CH_{Ar}), 108,81, 116,58, 125,37, 130,98, 131,88, 134,97, 137,17, 147,56, 149,41, 151,43, 153,12, 153,31, 157,17, 194,26 (14 C_{четв}). Найдено, %: C 61,81; H 4,05; Cl 12,42; N 4,87; S 5,54. Масс-спектр, m/z ($I_{отн}$, %): 566,07 (100) [M+H]⁺. C₂₉H₂₂Cl₂N₂O₄S. Вычислено, %: C 61,60; H 3,92; Cl 12,54; N 4,95; S 5,67. M 565,47.

11-(3-Гидроксифенил)-7,8,9,11-тетрагидро-10Н-бензо[f]цикlopента[b]хинолин-10-он (10). Выход 66 %, т. пл. > 310 °C. ИК-спектр, ν , см⁻¹: 3 363 (OH), 3 317, 3 172 (NH), 1 655, 1 627, 1 607, 1 580, 1 520, 1 500, 1 490, 1 463 (C=C, C=O), 1 256, 1 220 (C-O). Масс-спектр, m/z ($I_{отн}$, %): 328 [M+H]⁺ (100). Найдено, %: C 81,12; H 5,29; N 3,96. C₂₂H₁₇NO₂. Вычислено, %: C 80,71; H 5,23; N 4,28. M 327,38.

11-(4-Гидроксифенил)-7,8,9,11-тетрагидро-10Н-бензо[f]цикlopента[b]хинолин-10-он (11). Выход 75 %, т. пл. > 310 °C. ИК-спектр, ν , см⁻¹: 3 240, 3 150 (NH), 1 627, 1 609, 1 597, 1 579, 1 520, 1 464 (C=C, C=O), 1 248, 1 225 (C-O). Масс-спектр, m/z ($I_{отн}$, %): 328 [M+H]⁺ (100). Найдено, %: C 80,99; H 5,28; N 3,97. C₂₂H₁₇NO₂. Вычислено, %: C 80,71; H 5,23; N 4,28. M 327,38.

11-(4-Гидрокси-3-метоксифенил)-7,8,9,11-тетрагидро-10Н-бензо[f]цикlopента[b]хинолин-10-он (12). Выход 70 %, т. пл. 287–289 °C. ИК-спектр, ν , см⁻¹: 3 370 (OH), 3 322, 3 240 (NH), 1 667, 1 629, 1 589, 1 521, 1 498, 1 467, 1 464 (C=C, C=O), 1 262, 1 216, 1 124 (C-O). Масс-спектр, m/z ($I_{отн}$, %): 358 [M+H]⁺ (100). Найдено, %: C 77,61; H 5,52; N 3,44. C₂₃H₁₉NO₃. Вычислено, %: C 77,29; H 5,36; N 3,92. M 357,41.

11-(4,5-Дихлоризотиазол-3-ил)-8,9-дигидро-7Н-бензо[f]цикlopента-[b]хинолин-10(11Н)-он (24). Выход 86 %, т. пл. > 300 °C. ИК-спектр, ν , см⁻¹: 3 269, 3 125 (NH), 3 030, 2 920, 2 858, 1 676, 1 612 (C=O), 1 597, 1 522, 1 502, 1 458, 1 392, 1 348, 1 320, 1 254, 1 234, 1 204, 1 184, 1 010, 989, 881, 817, 771, 652, 536. Спектр ЯМР ¹H (500 МГц, ДМСО-d₆), δ, м. д.: 2,19–2,38 м (2H, CH₂), 2,62–2,82 м (2H, CH₂), 5,99 с (1H, CH), 7,26 д (1H_{Ar}, J 8,7 Гц), 7,33 т (1H_{Ar}, J 7,4 Гц), 7,44 т (1H_{Ar}, J 7,3 Гц), 7,77 д (1H_{Ar}, J 8,5 Гц), 7,80–7,87 м (2H_{Ar}), 10,51 с (1H, NH). Спектр ЯМР ¹³C (125 МГц, ДМСО-d₆), δ, м. д.: 24,61 (CH₂), 33,79 (CH₂), 36,69 (CH), 118,27 (1CH_{Ar}), 122,44 (1CH_{Ar}), 124,47 (1CH_{Ar}), 127,80 (1CH_{Ar}), 129,26 (1CH_{Ar}), 129,93 (1CH_{Ar}), 109,80, 113,08, 122,54, 131,00, 132,23, 136,13, 147,34, 166,49, 169,52, 200,22 (C=O) (10 C_{четв}). Найдено, %: C 59,11; H 3,21; Cl 18,19; N 7,15; S 8,14. C₁₉H₁₂Cl₂N₂OS. Вычислено, %: C 58,92; H 3,12; Cl 18,31; N 7,23; S 8,28. M 387,28.

11-(5-Фенилизоксазол-3-ил)-8,9-дигидро-7Н-бензо[f]цикlopента-[b]хинолин-10(11Н)-он (25). Выход 76 %, т. пл. 241–242 °C. ИК-спектр, ν , см⁻¹: 3 238, 3 163 (NH), 3 102, 3 082, 3 050, 3 040,

3 007, 2 990, 2 952, 2 925, 2 868, 1 666, 1 633 (C=O), 1 608, 1 584, 1 530, 1 510, 1 468, 1 450, 1 430, 1 401, 1 380, 1 350, 1 342, 1 271, 1 238, 1 218, 1 570, 1 160, 1 139, 1 117, 1 071, 1 046, 1 027, 1 014, 988, 960, 944, 920, 890, 830, 815, 790, 765, 745, 740, 730, 715, 685, 660, 643, 608, 600, 540, 498, 490, 440, 420. Спектр ЯМР ^1H (500 МГц, ДМСО- d_6), δ, м. д.: 2,37 т (CH_2 , 3J 5 Гц), 2,73 дт (1Н, 2J 17,5 Гц, 2^3J 5 Гц, H-10), 2,80 дт (1Н, 2J 17,5 Гц, 2^3J 5 Гц, H-10), 5,86 с (1Н, 12-Н), 6,77 с (1Н, $\text{H}_{\text{изокс}}$), 7,30 д (1Н, 3J 8,5 Гц, H_{Ar}), 7,70 дд (1Н, 3J 7 Гц, H_{Ar}), 7,38–7,44 м (3Н, H_{Ar}), 7,49 т (1Н, 3J 7 Гц, H_{Ar}), 7,72 дд (2Н, 3J 8 Гц, 4J 1,5 Гц), 7,84 т (1Н, 3J 8,5 Гц, H_{Ar}), 8,05 д (1Н, 3J 8,5 Гц, H_{Ar}), 10,48 с (1Н, NH). Спектр ЯМР ^{13}C (125 МГц, ДМСО- d_6), δ, м. д.: 23,80 т (2CH_2), 29,48 д (12-Н), 33,31 т (10- CH_2), 99,66 д ($\text{CH}_{\text{изокс}}$), 108,90 с, 112,37 с, 117,43 д, 122,39 д, 123,71 д, 125,16 д ($2\text{C}_{\text{фенилен}}$), 126,52 с, 126,75 д, 128,21 д, 128,85 д ($2\text{C}_{\text{фенилен}}$), 128,91 д, 129,96 д, 130,23 с, 131,51 с, 134,69 с, 166,07 с, 167,18 с, 168,29 с, 199,42 с (C=O). Найдено, %: C 79,51; H 4,85; N 7,29. $\text{C}_{25}\text{H}_{18}\text{N}_2\text{O}_2$. Вычислено, %: C 79,35; H 4,79; N 7,40. M 378,42.

12-(5-(n-Толил)изоксазол-3-ил)-8,9-дигидро-7Н-бензо[*f*]цикlopента-[*b*]хинолин-10(11Н)-он (26). Выход 78 %, т. пл. 268–269 °C. ИК-спектр, ν, см⁻¹: 3 274, 3 189 (NH), 3 140, 3 120, 3 101, 3 064, 3 024, 2 954, 2 921, 2 868, 1 672, 1 629 (C=O), 1 612, 1 586, 1 522, 1 502, 1 471, 1 457, 1 430, 1 389, 1 380, 1 333, 1 320, 1 280, 1 267, 1 255, 1 230, 1 220, 1 181, 1 160, 1 140, 1 115, 1 080, 1 045, 1 030, 1 020, 1 003, 990, 949, 903, 845, 816, 808, 799, 790, 745, 740, 712, 685, 668, 640, 636, 612, 590, 560, 540, 509, 499, 440, 425. Спектр ЯМР ^1H (500 МГц, ДМСО- d_6), δ, м. д.: 2,29 с (3Н, CH_3), 2,33–2,40 м (2Н, CH_2), 2,65–2,86 м (2Н, CH_2), 5,84 с (1Н, CH), 6,68 с (1Н, $\text{H}_{\text{изокс}}$), 7,23 д (2Н $_{\text{Ar}}$, J 8,0 Гц), 7,29 д (1Н $_{\text{Ar}}$, J 8,7 Гц), 7,36 т (1Н $_{\text{Ar}}$, J 7,3 Гц), 7,49 т (1Н $_{\text{Ar}}$, J 7,5 Гц), 7,60 д (2Н $_{\text{Ar}}$, J 8,0 Гц), 7,81–7,87 м (2Н $_{\text{Ar}}$), 8,05 д (1Н $_{\text{Ar}}$, J 8,6 Гц), 10,46 с (1Н, NH). Спектр ЯМР ^{13}C (125 МГц, ДМСО- d_6), δ, м. д.: 24,61 (CH_2), 33,79 (CH_2), 36,69 (CH), 118,27 (1CH $_{\text{Ar}}$), 122,44 (1CH $_{\text{Ar}}$), 124,47 (1CH $_{\text{Ar}}$), 127,80 (1CH $_{\text{Ar}}$), 129,26 (1CH $_{\text{Ar}}$), 129,93 (1CH $_{\text{Ar}}$), 109,80, 113,08, 122,54, 131,00, 132,23, 136,13, 147,34, 166,49, 169,52 (9 C_{четв}). Найдено, %: C 79,68; H 5,21; N 7,08. $\text{C}_{26}\text{H}_{20}\text{N}_2\text{O}_2$. Вычислено, %: C 79,57; H 5,14; N 7,14. M 392,45.

12-[5-(4-Этилфенил)изоксазол-3-ил]-8,9,10,12-тетрагидробензо-[*a*]акридин-11(7Н)-он (27). Выход 79 %, т. пл. 232–234 °C. ИК-спектр, ν, см⁻¹: 3 261, 3 179 (NH), 3 094, 3 080, 3 065, 3 030, 3 020, 2 960, 2 947, 2 928, 2 890, 2 870, 1 615 (C=O), 1 596, 1 582, 1 522, 1 500, 1 470, 1 456, 1 435, 1 423, 1 401, 1 383, 1 371, 1 339, 1 318, 1 285, 1 239, 1 190, 1 160, 1 141, 1 116, 1 060, 1 046, 1 030, 1 008, 965, 959, 947, 913, 856, 835, 827, 816, 805, 767, 740, 695, 666, 645, 620, 610, 591, 535, 528, 517, 489, 461. Спектр ЯМР ^1H (500 МГц, ДМСО- d_6), δ, м. д.: 1,13 т (3Н, 3J 7,5 Гц, CH_2CH_3), 1,88–2,00 м (2Н), 2,30 т (2Н, 3J 5 Гц), 2,72 к (2Н, 3J 7,5 Гц, CH_2CH_3), 2,61–2,74 м (2Н), 6,07 с (1Н, 12-Н), 6,67 с (1Н, $\text{H}_{\text{изокс}}$), 7,45 д (2Н, 3J 7 Гц, $\text{H}_{\text{фенилен}}$), 7,30 д (1Н, 3J 8,5 Гц, H_{Ar}), 7,36 т (1Н, 3J 8 Гц, H_{Ar}), 7,52 т (1Н, 3J 8 Гц, H_{Ar}), 7,62 д (2Н, 3J 7 Гц, $\text{H}_{\text{фенилен}}$), 7,80 д (1Н, 3J 8 Гц, H_{Ar}), 7,82 д (1Н, 3J 8 Гц, H_{Ar}), 8,14 д (1Н, 3J 8,5 Гц, H_{Ar}), 9,95 с (1Н, NH). Спектр ЯМР ^{13}C (125 МГц, ДМСО- d_6), δ, м. д.: 15,50 к (CH_2CH_3), 21,38 т (CH_2), 26,66 т (CH_2), 28,83 д (C-12), 37,26 т (10- CH_2), 99,45 д ($\text{CH}_{\text{изокс}}$), 104,92 с, 113,63 с, 117,47 д, 122,80 д, 124,24 д, 124,82 с, 125,88 д ($2\text{C}_{\text{фенилен}}$), 127,31 д, 128,84 д ($2\text{C}_{\text{фенилен}}$), 128,90 д, 129,00 д, 130,74 с, 131,80 с, 134,77 с, 146,50 с, 154,59 с, 167,69 с, 168,93 с, 193,97 с (C=O). Найдено, %: C 80,08; H 5,85; N 6,51. $\text{C}_{28}\text{H}_{24}\text{N}_2\text{O}_2$. Вычислено, %: C 79,98; H 5,75; N 6,66. M 420,50.

12-[5-(2,5-Диметилфенил)изоксазол-3-ил]-8,9,10,12-тетрагидробензо[*a*]акридин-11(7Н)-он (28). Выход 84 %, т. пл. 263–264 °C. ИК-спектр, ν, см⁻¹: 3 261, 3 187 (NH), 3 128, 3 091, 3 060, 3 019, 2 960, 2 945, 2 919, 2 890, 2 864, 1618 (C=O), 1 599, 1 585, 1 521, 1 495, 1 468, 1 425, 1 418, 1 400, 1 381, 1 340, 1 315, 1 300, 1 281, 1 234, 1 187, 1 135, 1 126, 1 090, 1 055, 1 028, 1 010, 956, 902, 890, 860, 840, 816, 797, 760, 750, 738, 710, 696, 675, 645, 610, 587, 540, 528, 514, 495, 476, 460, 430, 420. Спектр ЯМР ^1H (500 МГц, ДМСО- d_6), δ, м. д.: 1,89–2,01 м (2Н), 2,20 с (3Н, CH_3), 2,21 с (3Н, CH_3), 2,31 т (2Н, 3J 5 Гц), 2,62–2,74 м (2Н), 6,05 с (1Н, 12-Н), 6,63 с (1Н, $\text{H}_{\text{изокс}}$), 7,18 д (1Н, 3J 8 Гц, H_{Ar}), 7,30 д (1Н, 3J 8,5 Гц, H_{Ar}), 7,37 т (1Н, 3J 7,5 Гц, H_{Ar}), 7,43 д (1Н, 3J 8,5 Гц, H_{Ar}), 7,51 с (1Н, H_{Ar}), 7,53 т (1Н, 3J 7,5 Гц, H_{Ar}), 7,81 д (1Н, 3J 8,5 Гц, H_{Ar}), 7,83 д (1Н, 3J 8 Гц, H_{Ar}), 8,13 д (1Н, 3J 8,5 Гц, H_{Ar}), 9,94 с (1Н, NH). Спектр ЯМР ^{13}C (125 МГц, ДМСО- d_6), δ, м. д.: 19,82 к (CH_3), 19,90 к (CH_3), 21,44 т (CH_2), 27,43 т (CH_2), 28,99 д (12-C), 37,00 т (10- CH_2), 99,43 д ($\text{CH}_{\text{изокс}}$), 104,79 с, 113,67 с, 117,53 д, 122,86 д, 123,29 д, 124,31 с, 125,04 с, 126,81 д, 127,44 д, 129,92 д, 128,97 д, 130,55 д, 130,79 с, 131,73 д, 134,82 с, 137,64 с, 139,18 с, 154,76 с, 168,06 с, 169,19 с, 194,01 с (C=O). Найдено, %: C 80,13; H 5,82; N 6,51. $\text{C}_{28}\text{H}_{24}\text{N}_2\text{O}_2$. Вычислено, %: C 79,98; H 5,75; N 6,66. M 420,50.

12-[5-(4-трем-Бутилфенил)изоксазол-3-ил]-8,9,10,12-тетрагидробензо[а]акридин-11(7Н)-он (29). Выход 82 %, т. пл. 262–263 °С. ИК-спектр, ν , см⁻¹: 3 257, 3 185 (NH), 3 087, 3 054, 3 025, 3 016, 2 960, 2 930, 2 900, 2 875, 2 867, 1 620 (C=O), 1 597, 1 583, 1 521, 1 497, 1 467, 1 429, 1 418, 1 401, 1 384, 1 337, 1 316, 1 283, 1 270, 1 237, 1 191, 1 180, 1 139, 1 126, 1 116, 1 046, 1 025, 1 008, 990, 959, 946, 890, 838, 817, 802, 770, 753, 695, 669, 645, 604, 587, 553, 540, 529, 490, 475, 460. Спектр ЯМР ^1H (500 МГц, DMSO- d_6), δ , м. д.: 1,24 с (9H, *t*-Bu), 1,88–2,01 м (2H), 2,31 т (2H, 3J 5 Гц), 2,62–2,74 м (2H), 6,06 с (1H, 12-H), 6,66 с (1H, H_{изокс}), 7,30 д (1H, 3J 8,5 Гц, H_{Ar}), 7,37 т (1H, 3J 8 Гц, H_{Ar}), 7,44 д (2H, 3J 8,5 Гц, H_{фенилен}), 7,53 т (1H, 3J 8 Гц, H_{Ar}), 7,64 д (2H, 3J 8,5 Гц, H_{фенилен}), 7,81 д (1H, 3J 8,5 Гц, H_{Ar}), 7,83 д (1H, 3J 8 Гц, H_{Ar}), 8,13 д (1H, 3J 8,5 Гц, H_{Ar}), 9,95 с (1H, NH). Спектр ЯМР ^{13}C (125 МГц, DMSO- d_6), δ , м. д.: 20,87 т (CH₂), 26,86 т (CH₂), 28,43 д (12-H), 30,77 к (*t*-Bu), 34,49 с (CMe₃), 36,56 т (10-CH₂), 99,17 д (CH_{изокс}), 104,25 с, 113,11 с, 116,97 д, 122,29 д, 123,75 д, 124,17 с, 125,18 д (2C_{фенилен}), 125,76 д (2C_{фенилен}), 126,88 д, 128,37 д, 130,22 с, 131,17 с, 134,27 с, 152,76 с, 154,20 с, 167,18 с, 168,35 с, 193,46 с (C=O). Найдено, %: C 80,41; H 6,38; N 6,17. C₃₀H₂₈N₂O₂. Вычислено, %: C 80,33; H 6,29; N 6,25. *M* 448,56.

Бисбензокропентахинолины и бисакридины 13–23, 30–34 (общая методика). К раствору 5 ммоль формилфенил-4,5-дихлоризотиазол-3-карбоксилата (или 2-, 3-, 4-пиридинкарбальдегида) в 50 мл бутанола последовательно прибавляли 0,4 г (2,5 ммоль) 2,5-диаминонафталина и 0,5 г (5 ммоль) 1,3-циклоалканодиона. Смесь кипятили 8 ч, после чего охлаждали и выдерживали при 5 °С 10–12 ч. Выпавший осадок отфильтровывали на стеклянном фильтре Шотта, промывали охлажденным бутанолом и сушили на воздухе при 50 °С 10–12 ч.

(1,8-Диоксо-1,2,3,4,7,8,9,10,11,14-декагидроцикlopента[2,3]хинолино[8,7-*h*]цикlopenta[*b*]хинолин-7,14-диил)бис(3,1-фенилен)бис(4,5-дихлоризотиазол-3-карбоксилат) (13). Выход 52 %, т. пл. 234–235 °С. ИК-спектр, ν , см⁻¹: 3 267, 3 100 (NH), 3 031, 2 923, 1 746 (C=O), 1 671, 1 609, 1 525, 1 500, 1 480, 1 442, 1 394, 1 351, 1 257, 1 195, 1 071, 1 005, 963. Масс-спектр, m/z ($I_{отн}$, %): 886 [M+H]⁺ (100). Найдено, %: C 57,08; H 2,84; Cl 15,48; N 5,97; S 6,93. C₄₂H₂₄Cl₄N₄O₆S₂. Вычислено, %: C 56,90; H 2,73; Cl 15,99; N 6,32; S 7,23. *M* 886,60.

(1,8-Диоксо-1,2,3,4,7,8,9,10,11,14-декагидроцикlopента[2,3]хинолино[8,7-*h*]цикlopента[*b*]-хинолин-7,14-диил)бис(4,1-фенилен)бис(4,5-дихлоризотиазол-3-карбоксилат) (14). Выход 44 %, т. пл. 208–210 °С. ИК-спектр, ν , см⁻¹: 3 265, 3 230 (NH), 3 097, 3 030, 2 960, 2 921, 2 852, 1 750 (C=O), 1 674, 1 609, 1 599, 1 519, 1 501, 1 387, 1 352, 1 319, 1 254, 1 204, 1 185, 1 070, 1 016, 1 005, 990, 963, 884, 812. Масс-спектр, m/z ($I_{отн}$, %): 886 [M+H]⁺ (100). Найдено, %: C 57,16; H 2,87; Cl 15,63; N 5,98; S 6,90. C₄₂H₂₄Cl₄N₄O₆S₂. Вычислено, %: C 56,90; H 2,73; Cl 15,99; N 6,32; S 7,23. *M* 886,60.

(1,8-Диоксо-1,2,3,4,7,8,9,10,11,14-декагидроцикlopента[2,3]хинолино[8,7-*h*]цикlopента[*b*]-хинолин-7,14-диил)бис(6-метокси-3,1-фенилен)бис(4,5-дихлоризотиазол-3-карбоксилат) (15). Выход 63 %, т. пл. 198–200 °С. ИК-спектр, ν , см⁻¹: 3 265, 3 220 (NH), 3 085, 3 005, 2 960, 2 924, 2 880, 2 837, 1 753 (C=O), 1 674, 1 609, 1 510, 1 435, 1 389, 1 351, 1 317, 1 264, 1 192, 1 178, 1 120, 1 104, 1 069, 1 023, 1 005, 968, 896, 860, 817, 782, 769. Спектр ЯМР ^1H (DMSO- d_6 , м. д.): 2,31 м (4H, 4 8-H), 2,82 м (4H, 4 9-H), 3,71 с (6H, 2 OMe), 5,73 уш. с (2H, 2 11-H), 6,99 м (2H), 7,04 м (2H), 7,14 м (2H), 7,28 м (2H), 7,39 м (2H), 7,96 м (2H), 10,06 с (2H, NH). Спектр ЯМР ^{13}C (DMSO- d_6 , м. д.): 24,6 (2 C-8), 33,4 (2 C-9), 34,6 (2 11-CH), 55,8 (2 OCH₃), 108,4 (2 C_{четв}), 112,6 (2 CH), 116,0 (2 C_{четв}), 121,4 (2 CH), 121,5 (2 C_{четв}), 122,0 (2 CH), 123,7 (2 CH), 126,5 (2 CH), 128,4 (2 C_{четв}), 132,0 (2 C_{четв}), 138,2 (2 C_{четв}), 140,2 (2 C_{четв}), 148,7 (2 C_{четв}), 150,7 (2 C_{четв}), 152,2 (2 C_{четв}), 156,1 (4 C_{четв}), 165,8 и 165,9 (2 COO), 200,4 (2 C=O). Масс-спектр, m/z ($I_{отн}$, %): 946 [M+H]⁺ (100). Найдено, %: C 56,10; H 3,11; Cl 14,50; N 5,71; S 6,43. C₄₄H₂₈Cl₄N₄O₈S₂. Вычислено, %: C 55,83; H 2,98; Cl 14,98; N 5,92; S 6,77. *M* 946,65.

(1,8-Диоксо-1,2,3,4,7,8,9,10,11,14-декагидроцикlopента[2,3]хинолино[8,7-*h*]цикlopента[*b*]-хинолин-7,14-диил)бис(2-метокси-4,1-фенилен)бис(4,5-дихлоризотиазол-3-карбоксилат) (16). Выход 60 %, т. пл. 204–206 °С. ИК-спектр, ν , см⁻¹: 3 267, 3 230 (NH), 3 090, 3 080, 3 035, 3 010, 2 960, 2 928, 2 870, 2 835, 1 751 (C=O), 1 675, 1 623, 1 602, 1 511, 1 464, 1 416, 1 397, 1 351, 1 112, 1 069, 1 030, 961, 928, 872. Спектр ЯМР ^1H (Py- d_5 , м. д.): 2,16 м (4H, 4 8-H), 2,32 м (4H, 4 9-H), 3,63 с (6H, 2 OMe), 5,50 с (2H, 2 11-H), 6,89 м (2H), 7,13 м (2H), 7,39 м (2H), 7,36 м (2H), 8,41 м (2H), 10,67 с (2H, NH). Спектр ЯМР ^{13}C записать не удалось по причине крайне низкой растворимости соеди-

нения. Масс-спектр, m/z ($I_{\text{отн.}}$, %): 946 [$M+\text{H}$]⁺ (100). Найдено, %: C 56,11; H 3,03; Cl 14,58; N 5,66; S 6,313. $\text{C}_{44}\text{H}_{28}\text{Cl}_4\text{N}_4\text{O}_8\text{S}_2$. Вычислено, %: C 55,83; H 2,98; Cl 14,98; N 5,92; S 6,77. M 946,65.

(1,8-Диоксо-1,2,3,4,7,8,9,10,11,14-декагидроцикlopента[2,3]хинолино[8,7-*h*]цикlopента[*b*]-хинолин-7,14-диил)бис(2-этокси-4,1-фенилен)бис(4,5-дихлоризотиазол-3-карбоксилат) (17). Выход 43 %, т. пл. 163–165 °C. ИК-спектр, ν , см⁻¹: 3 266, 3 230 (NH), 3 085, 2 976, 2 924, 2 869, 1 754 (C=O), 1 670, 1 625, 1 601, 1 515, 1 428, 1 387, 1 351, 1 316, 1 266, 1 254, 1 183, 1 116, 1 068, 1 036, 959, 870, 830, 766, 746. Спектр ЯМР ¹H (DMSO-*d*₆, м. д.): 1,20 т (6H, 2J 7 Гц, CH_2CH_3), 2,31 м (4H, 4 8-H), 2,82 м (4H, 4 9-H), 4,03 к (4H, 3 J 7 Гц, CH_2CH_3), 6,62 с (2H, 2 11-H), 7,07 м (2H), 7,21 м (2H), 7,31 м (2H), 7,64 м (2H), 7,91 м (2H), 10,19 с (1H, NH). Спектр ЯМР ¹³C (DMSO-*d*₆, м. д.): 15,1 (2 CH_2CH_3), 25,4 (2 C-8), 34,2 (2 C-9), 41,1 (2 11-CH), 64,7 (2 CH_2CH_3), 113,6 (2 C_{четв.}), 114,2 (2 CH), 120,5 (2 CH), 122,7 (2 C_{четв.}), 122,9 (2 CH), 123,1 (2 CH), 123,9 (2 CH), 125,5 (2 C_{четв.}), 136,3 (2 C_{четв.}), 137,7 (2 C_{четв.}), 142,1 (2 C_{четв.}), 149,9 (2 C_{четв.}), 151,6 (2 C_{четв.}), 151,7 (2 C_{четв.}), 153,2 (2 C_{четв.}), 157,3 (4 C_{четв.}), 166,9 (COO), 201,29 (C=O). Масс-спектр, m/z ($I_{\text{отн.}}$, %): 974 [$M+\text{H}$]⁺ (100). Найдено, %: C 56,93; H 3,44; Cl 14,21; N 5,43; S 6,25. $\text{C}_{46}\text{H}_{32}\text{Cl}_4\text{N}_4\text{O}_8\text{S}_2$. Вычислено, %: C 56,68; H 3,31; Cl 14,55; N 5,75; S 6,58. M 974,70.

(1,9-Диоксо-1,2,3,4,5,8,9,10,11,12,13,16-додекагидроакридин-8,16-диил)бис-(4,1-фенилен) бис(4,5-дихлоризотиазол-3-карбоксилат) (18). Выход 57 %, т. пл. > 300 °C. ИК-спектр, ν , см⁻¹: 3 285 (NH); 3 103, 2 937, 2 867 (C—H_{алиф.}), 1 751 (C=O), 1 587 (C=O), 1 517, 1 493, 1 412, 1 386, 1 364, 1 266, 1 208, 1 192, 1 139, 1 069, 994, 961. Спектр ЯМР ¹H (500 МГц, ДМСО-*d*₆), δ, м. д.: 1,84–1,93 м (2H, CH_2), 1,93–2,04 м (2H, CH_2), 2,23–2,32 м (4H, 2 CH_2), 2,64–2,76 м (2H, CH_2), 2,86–2,95 м (4H, CH_2), 5,32 с (2H, 2CH), 7,08–7,15 м (4H_{Ar}), 7,27–7,32 м (4H_{Ar}), 7,38–7,43 м (2H_{Ar}), 8,04–8,11 м (2H_{Ar}), 9,22–9,28 м (2H, 2NH). Спектр ЯМР ¹³C (125 МГц, ДМСО-*d*₆), δ, м. д.: 21,57 (2 CH_2), 27,56 (2 CH_2), 37,31 (2 CH_2), 39,90 (2CH), 116,79 (2CH_{Ar}), 121,78 (4CH_{Ar}), 128,89 (2CH_{Ar}), 128,96 (4CH_{Ar}), 121,12, 122,03, 125,35, 125,62, 131,84, 147,07, 148,44, 151,19, 153,24, 154,43, 157,67, 194,58 (12 C_{четв.}). Найдено, %: C 57,91; H 3,15; Cl 15,39; N 6,02; S 6,95. $\text{C}_{44}\text{H}_{28}\text{Cl}_4\text{N}_4\text{O}_6\text{S}_2$. Вычислено, %: C 57,78; H 3,09; Cl 15,50; N 6,13; S 7,01. M 914,66.

1,9-Диоксо-1,2,3,4,5,8,9,10,11,12,13,16-додекагидроакридин-8,16-диил)бис-(2-метокси-4,1-фенилен) бис(4,5-дихлоризотиазол-3-карбоксилат) (19). Выход 55 %, т. пл. 295–297 °C. ИК-спектр, ν , см⁻¹: 3 328 (NH); 3 033, 2 947, 2 933, 2 867 (C—H_{алиф.}), 1 756 (C=O), 1 592 (C=O), 1 514, 1 489, 1 419, 1 383, 1 361, 1 264, 1 189, 1 157, 1 111, 1 067, 1 032, 994, 960. Спектр ЯМР ¹H (500 МГц, ДМСО-*d*₆), δ, м. д.: 1,84–1,96 м (2H, CH_2), 1,96–2,10 м (2H, CH_2), 2,22–2,37 м (4H, 2 CH_2), 2,59–2,76 м (2H, CH_2), 2,85–2,97 м (2H, CH_2), 3,74 с (6H, 2OMe), 5,31 с (2H, 2CH), 6,71–6,75 м (2H_{Ar}), 7,00–7,07 м (2H_{Ar}), 7,18–7,21 м (2H_{Ar}), 7,47–7,52 м (2H_{Ar}), 8,04–8,09 м (2H_{Ar}), 9,22–9,28 м (2H, 2NH). Спектр ЯМР ¹³C (125 МГц, ДМСО-*d*₆), δ, м. д.: 21,64 (2 CH_2), 27,56 (2 CH_2), 37,33 (2 CH_2), 39,27 (2CH), 56,34 (OMe), 112,41 (2CH_{Ar}), 116,77 (2CH_{Ar}), 119,66 (2CH_{Ar}), 122,82 (2CH_{Ar}), 128,07 (2CH_{Ar}), 108,64, 121,12, 122,01, 125,56, 131,71, 137,06, 148,46, 150,58, 151,48, 152,91, 154,64, 157,13, 194,64 (13 C_{четв.}). Найдено, %: C 56,75; H 3,48; Cl 14,39; N 5,68; S 6,43. $\text{C}_{46}\text{H}_{32}\text{Cl}_4\text{N}_4\text{O}_8\text{S}_2$. Вычислено, %: C 56,68; H 3,31; Cl 14,55; N 5,75; S 6,58. M 974,71.

1,9-Диоксо-1,2,3,4,5,8,9,10,11,12,13,16-додекагидроакридин-8,16-диил)бис-(2-этокси-4,1-фенилен) бис(4,5-дихлоризотиазол-3-карбоксилат) (20). Выход 55 %, т. пл. > 300 °C. ИК-спектр, ν , см⁻¹: 3 316 (NH); 3 101, 3 061, 2 928, 2 868 (C—H_{алиф.}), 1 753 (C=O), 1 600 (C=O), 1 515, 1 506, 1 486, 1 416, 1 382, 1 354, 1 263, 1 184, 1 139, 1 115, 1 069, 1 039, 994, 961. Спектр ЯМР ¹H (500 МГц, ДМСО-*d*₆), δ, м. д.: 1,22 т (6H, 2OCH₂CH₃, *J* 7,0 Гц), 1,87–2,06 м (4H, 2 CH_2), 2,23–2,34 м (4H, 2 CH_2), 2,62–2,76 м (2H, CH_2), 2,86–2,98 м (2H, 2 CH_2), 3,95–4,08 м (4H, 2OCH₂CH₃), 5,30 с (2H, 2CH), 6,68–6,75 м (2H_{Ar}), 7,00–7,07 м (2H_{Ar}), 7,15–7,20 м (2H_{Ar}), 7,45–7,52 м (2H_{Ar}), 8,03–8,09 м (2H_{Ar}), 9,22–9,28 м (2H, 2NH). Найдено, %: C 57,56; H 3,78; Cl 14,05; N 5,46; S 6,31. $\text{C}_{48}\text{H}_{36}\text{Cl}_4\text{N}_4\text{O}_8\text{S}_2$. Вычислено, %: C 57,49; H 3,62; Cl 14,14; N 5,59; S 6,40. M 1002,76.

7,14-Ди(пиридин-2-ил)-2,3,4,7,9,10,11,14-октагидроцикlopента[2,3]хинолино[8,7-*h*]цикlopента[*b*]-хинолин-1,8-дион (21). Выход 58 %, т. пл. > 310 °C. ИК-спектр, ν , см⁻¹: 3 184, 3 080 (NH), 3 000, 2 923, 2 851, 1 678, 1 624, 1 592, 1 526, 1 498, 1 432, 1 385, 1 252, 1 003, 882, 800, 751. Масс-спектр, m/z ($I_{\text{отн.}}$, %): 497 [$M+\text{H}$]⁺ (100). Найдено, %: C 77,73; H 4,96; N 10,96. $\text{C}_{32}\text{H}_{24}\text{N}_4\text{O}_2$. Вычислено, %: C 77,40; H 4,87; N 11,28. M 496,57.

7,14-Ди(піридин-3-ил)-2,3,4,7,9,10,11,14-октагидроциклопента[2,3]хіноліно[8,7-*h*]цикlopента[*b*]хінолін-1,8-діон (22). Выход 46 %, т. пл. > 310 °C. ИК-спектр, ν , см⁻¹: 3 221, 3 180 (NH), 3 077, 2 917, 2 855, 1 683, 1 636, 1 529, 1 388, 1 256, 1 001, 881, 800, 710. Масс-спектр, m/z ($I_{\text{отн}}$, %): 497 [$M+H$]⁺ (100). Найдено, %: C 77,85; H 4,92; N 10,99. $C_{32}H_{24}N_4O_2$. Вычислено, %: C 77,40; H 4,87; N 11,28. M 496,57.

7,14-Ди(піридин-4-ил)-2,3,4,7,9,10,11,14-октагидроциклопента[2,3]хіноліно[8,7-*h*]цикlopента[*b*]хінолін-1,8-діон (23). Выход 56 %, т. пл. > 310 °C. ИК-спектр, ν , см⁻¹: 3 239, 3 030 (NH), 2 927, 1 678, 1 626, 1 600, 1 532, 1 498, 1 413, 1 386, 1 252, 997, 810, 759. Масс-спектр, m/z ($I_{\text{отн}}$, %): 497 [$M+H$]⁺ (100). Найдено, %: C 77,65; H 4,93; N 11,04. $C_{32}H_{24}N_4O_2$. Вычислено, %: C 77,40; H 4,87; N 11,28. M 496,57.

7,14-Біс(5-фенілизоксазол-3-ил)-2,3,9,10,11,14-гексагидроциклопента[2,3]хіноліно[8,7-*h*]цикlopента[*b*]хінолін-1,8(4*H*,7*H*)-діон (30). Выход 45 %, т. пл. 252–253 °C. ИК-спектр, ν , см⁻¹: 3 268, 3 225 (NH), 3 095, 3 060, 3 036, 2 953, 2 923, 2 860, 2 855, 1 674, 1 612 (C=O), 1 597, 1 574, 1 521, 1 500, 1 450, 1 440, 1 405, 1 387, 1 340, 1 320, 1 265, 1 253, 1 236, 1 201, 1 175, 1 046, 1 011, 989, 945, 880, 763, 686, 651, 535. Найдено, %: C 76,54; H 4,58; N 8,81. $C_{40}H_{28}N_4O_4$. Вычислено, %: C 76,42; H 4,49; N 8,91. M 628,67.

7,14-Біс(5-(*n*-толіл)изоксазол-3-ил)-2,3,9,10,11,14-гексагидроциклопента[2,3]хіноліно-[8,7-*h*]цикlopента[*b*]хінолін-1,8(4*H*,7*H*)-діон (31). Выход 41 %, т. пл. 298–300 °C. ИК-спектр, ν , см⁻¹: 3 270, 3 235 (NH), 3 120, 3 100, 3 030, 2 960, 2 920, 2 858, 1 676, 1 613 (C=O), 1 597, 1 522, 1 501, 1 458, 1 435, 1 392, 1 348, 1 321, 1 254, 1 234, 1 204, 1 184, 1 170, 1 112, 1 060, 1 040, 1 010, 989, 940, 881, 817, 771, 720, 710, 670, 652, 603, 570, 536, 502. Спектр ЯМР ¹H (500 МГц, ДМСО-*d*₆), δ, м. д.: 2,40 с (6H, 2CH₃), 3,15–3,31 м (4H, 2CH₂), 3,38–3,50 м (4H, 2CH₂), 5,96 с (2H, 2CH), 6,66–6,74 м (2H, 2H_{изокс}), 7,30 д (2H_{Ar}, *J* 8,0 Гц), 7,61–7,74 м (6H_{Ar}), 8,20 д (2H_{Ar}, *J* 8,8 Гц), 10,23 (1H, NH). Спектр ЯМР ¹³C (125 МГц, ДМСО-*d*₆), δ, м. д.: 19,80 (2CH₃), 27,12 (CH₂), 30,95 (CH₂), 32,41 (CH), 98,40 д (CH_{изокс}), 119,46 (2CH_{Ar}), 125,91 (4CH_{Ar}), 129,01 (2CH_{Ar}), 129,74 (4CH_{Ar}), 109,91, 119,95, 122,38, 123,92, 129,24, 143,64, 164,53, 173,71, 180,54, 199,21 (C=O) (10 C_{четв}). Найдено, %: C 76,98; H 5,06; N 8,39. $C_{42}H_{32}N_4O_4$. Вычислено, %: C 76,81; H 4,91; N 8,53. M 656,73.

8,16-Біс[5-(4-етилфенил)изоксазол-3-ил]-3,4,8,10,11,12,13,16-октагидроакридино[4,3-*c*]-акридин-1,9(2*H*,5*H*)-діон (32). Выход 42 %, т. пл. 284–285 °C. ИК-спектр, ν , см⁻¹: 3 294 (NH), 3 245, 3 190, 3 102, 3 028, 2 962, 2 929, 2 890, 2 869, 1 620 (C=O), 1 592, 1 519, 1 494, 1 457, 1 418, 1 385, 1 365, 1 334, 1 270, 1 261, 1 193, 1 180, 1 170, 1 135, 1 124, 1 080, 1 070, 1 046, 995, 946, 920, 900, 880, 845, 834, 825, 784, 775, 760, 740, 680, 660, 640, 590, 536. Найдено, %: C 77,65; H 5,78; N 7,74. $C_{50}H_{48}N_4O_4$. Вычислено, %: C 77,51; H 5,66; N 7,86. M 712,83.

8,16-Біс[5-(2,5-диметилфенил)изоксазол-3-ил]-3,4,8,10,11,12,13,16-октагидроакридино-[4,3-*c*]акридин-1,9(2*H*,5*H*)-діон (33). Выход 45 %, т. пл. 276–277 °C. ИК-спектр, ν , см⁻¹: 3 293 (NH), 3 101, 3 025, 2 923, 2 890, 2 867, 1 613 (C=O), 1 594, 1 519, 1 490, 1 445, 1 417, 1 380, 1 333, 1 315, 1 301, 1 264, 1 192, 1 170, 1 127, 1 070, 1 055, 1 020, 995, 970, 945, 920, 902, 890, 876, 860, 855, 820, 802, 781, 759, 740, 706, 685, 650, 600, 590, 536, 505, 480, 430. Найдено, %: C 77,67; H 5,75; N 7,71. $C_{46}H_{40}N_4O_4$. Вычислено, %: C 77,51; H 5,66; N 7,86. M 712,83.

8,16-Біс[5-(4-трет-бутилфенил)изоксазол-3-ил]-3,4,8,10,11,12,13,16-октагидроакридино-[4,3-*c*]акридин-1,9(2*H*,5*H*)-діон (34). Выход 43 %, т. пл. 279–280 °C. ИК-спектр, ν , см⁻¹: 3 302, 3 243, 3 192 (NH), 3 120, 3 101, 3 031, 2 953, 2 905, 2 868, 1 620 (C=O), 1 592, 1 519, 1 491, 1 460, 1 416, 1 385, 1 365, 1 335, 1 265, 1 260, 1 193, 1 170, 1 140, 1 128, 1 076, 1 045, 995, 949, 930, 915, 875, 855, 837, 782, 739, 685, 605, 553, 536. Найдено, %: C 78,21; H 6,35; N 7,14. $C_{50}H_{48}N_4O_4$. Вычислено, %: C 78,10; H 6,29; N 7,29. M 768,94.

2-(11-Оксо-7,8,9,10,11,12-гексаагидробензо[*a*]акридин-12-ил)фенил 4,5-дихлоризотиазол-3-карбоксилат (35).

3-(11-Оксо-7,8,9,10,11,12-гексаагидробензо[*a*]акридин-12-ил)фенил 4,5-дихлоризотиазол-3-карбоксилат (36).

2-Метокси-5-(11-оксо-7,8,9,10,11,12-гексаагидробензо[*a*]акридин-12-ил)фенил 4,5-дихлоризотиазол-3-карбоксилат (37).

2-(9,9-Диметил-11-оксо-7,8,9,10,11,12-гексаагидробензо[*a*]акридин-12-ил)фенил 4,5-дихлоризотиазол-3-карбоксилат (38).

3-(9,9-Диметил-11-оксо-7,8,9,10,11,12-гексаагидробензо[а]акридин-12-ил)фенил 4,5-дихлоризотиазол-3-карбоксилат (39).

4-(9,9-Диметил-11-оксо-7,8,9,10,11,12-гексаагидробензо[а]акридин-12-ил)фенил 4,5-дихлоризотиазол-3-карбоксилат (40).

2-Метокси-5-(9,9-диметил-11-оксо-7,8,9,10,11,12-гексаагидробензо[а]акридин-12-ил)фенил 4,5-дихлоризотиазол-3-карбоксилат (41).

2-Метокси-4-(9,9-диметил-11-оксо-7,8,9,10,11,12-гексаагидробензо[а]акридин-12-ил)фенил 4,5-дихлоризотиазол-3-карбоксилат (42).

2-Этокси-4-(9,9-Диметил-11-оксо-7,8,9,10,11,12-гексаагидробензо[а]акридин-12-ил)фенил 4,5-дихлоризотиазол-3-карбоксилат (43).

Благодарности. Работа выполнена при финансовой поддержке Белорусского республиканского фонда фундаментальных исследований (проект X22-038).

Acknowledgments. The work was carried out with the financial support of the Belarusian Republican Foundation for Fundamental Research (project X22-038).

Список использованных источников

1. Синтез производных бисакридина с пиридиновым и 1,2-азольными фрагментами / Е. А. Дикусар, Е. А. Акишина, С. К. Петкевич [и др.] // Журнал общей химии. – 2022. – Т. 92, № 1. – С. 56–71. <https://doi.org/10.31857/S0044460X22010085>
2. Пиридинодержащие бензоцикlopентахинолины и бензакридины и их четвертичные соли / Е. А. Дикусар, Е. А. Акишина, С. С. Ковалевская [и др.] // Журнал общей химии. – 2023. – Т. 93, № 7. – С. 1023–1034. <https://doi.org/10.31857/S0044460X23070053>
3. Acridine as an Anti-Tumour Agent: A Critical Review / P. Varakumar, K. Rajagopal, B. Aparna [et al.] // Molecules. – 2022. – Vol. 28, № 1. – Art. 193. <https://doi.org/10.3390/molecules28010193>
4. A Review on Acridines as Antiproliferative Agents / A. Baliwada, K. Rajagopal, P. Varakumar [et al.] // Mini-Reviews in Medicinal Chemistry. – 2022. – Vol. 22, № 21. – P. 2769–2798. <https://doi.org/10.2174/13895575226622051125744>
5. Denny, W. A. Acridine derivatives as chemotherapeutic agents / W. A. Denny // Current Medicinal Chemistry. – 2022. – Vol. 9, № 18. – P. 1655–1665. <https://doi.org/10.2174/0929867023369277>
6. Novel tetra-acridine derivatives as dual inhibitors of topoisomerase II and the human proteasome / S. Vispé, I. Vandenberghe, M. Robin [et al.] // Biochemical Pharmacology. – 2007. – Vol. 73, № 12. – P. 1863–1972. <https://doi.org/10.1016/j.bcp.2007.02.016>
7. Mechanisms of action of DNA intercalating acridine-based drugs: how important are contributions from electron transfer and oxidative stress? / B. C. Baguley, L. P. Wakelin, J. D. Jacintho, P. Kovacic // Current Medicinal Chemistry. – 2003. – Vol. 10, № 24. – P. 2643–2649. <https://doi.org/10.2174/0929867033456332>
8. Novel acridine-based compounds that exhibit an anti-pancreatic cancer activity are catalytic inhibitors of human topoisomerase II / L. M. Oppegard, A. V. Ougolkov, D. N. Luchini [et al.] // European Journal of Pharmacology. – 2009. – Vol. 602, № 2–3. – P. 223–229. <https://doi.org/10.1016/j.ejphar.2008.11.044>
9. Structure-activity relationships for substituted bis(acridine-4-carboxamides): a new class of anticancer agents / S. A. Gamage, J. A. Spicer, G. J. Atwell [et al.] // Journal of Medicinal Chemistry. – 1999. – Vol. 42, № 13. – P. 2383–2393. <https://doi.org/10.1021/jm980687m>
10. Структурно-функциональный анализ биологической активности производных акридина / Э. Г. Деева, Я. В. Павловская, О. И. Киселев [и др.] // Вестник Российской академии медицинских наук. – 2004. – № 2. – С. 29–34.
11. A review of published data on acridine derivatives with different biological activities / J. S. Rupar, V. D. Dobričić, M. M. Aleksić [et al.] // Kragujevac Journal of Science. – 2018. – Vol. 40, № 1. – P. 83–101. <https://doi.org/10.5937/kgjsci1840083r>
13. Substituted benz[a]acridines and benz[c]acridines as mammalian topoisomerase poisons / D. Makhey, C. Yu, A. Liu [et al.] // Bioorganic and Medicinal Chemistry. – 2000. – Vol. 8, № 5. – P. 1171–1182. [https://doi.org/10.1016/S0968-0896\(00\)00048-1](https://doi.org/10.1016/S0968-0896(00)00048-1)
14. Nowak, K. Chemical structures and biological activities of bis- and tetrakis-acridine derivatives: A review / K. Nowak // Journal of Molecular Structure. – 2017. – Vol. 1146. – P. 562–570. <https://doi.org/10.1016/J.MOLSTRUC.2017.05.042>
15. General Atomic and Molecular Electronic-Structure System / M. W. Schmidt, K. K. Baldridge, J. A. Boatz [et al.] // Journal of Computational Chemistry. – 1993. – Vol. 14. – № 7. – P. 1347–1363. <https://doi.org/10.1002/jcc.540141112>
16. Putz, M. V. DFT chemical reactivity driven by biological activity: applications for the toxicological fate of chlorinated PAHs / M. V. Putz // Applications of Density Functional Theory to Biological and Bioinorganic Chemistry / ed. M. V. Putz, M. P. Mingos. – Berlin: Springer Link, 2013. – P. 181–231. https://doi.org/10.1007/978-3-642-32750-6_6
17. Синтез структурных аналогов алкалоидов с изоксазольными и изотиазольными фрагментами / С. К. Петкевич, А. В. Клецков, А. П. Кадуцкий [и др.] // Журнал органической химии. – 2018. – Т. 54, № 12. – С. 1793–1800. <https://doi.org/10.1134/S0514749218120129>

References

1. Dikusar E. A., Akishina E. A., Petkovich S. K., Zhukouskaya N. A., Alekseyev R. S., Bumagin N. A., Shahab S. N., Filippovich L. N., Potkin V. I. Synthesis of Bisacridine Derivatives with Pyridine and 1,2-Azole Fragments. *Russian Journal of General Chemistry*, 2022, vol. 92, no. 1, pp. 40–53 (in Russian). <https://doi.org/10.1134/s1070363222010078>
2. Dikusar E. A., Akishina E. A., Kovalskaya S. S., Grigoriev M. S., Fedoseeva M. A., Alekseeva K. A., Potkin V. I. Pyridine-containing benzocyclopentaquinolines and benzacridines and their quaternary. *Zhurnal obshhej himii = Journal of General Chemistry*, 2023, vol. 93, no. 7, pp. 1023–1034 (in Russian). <https://doi.org/10.31857/S0044460X23070053>

3. Varakumar P., Rajagopal K., Aparna B., Raman K., Byran G., Lima C. M. G., Rashid S., Nafady M. H., Emran T. B., Wybraniec S. Acridine as an Anti-Tumour Agent: A Critical Review. *Molecules*, 2022, vol. 28, no. 1, art. 193. <https://doi.org/10.3390/molecules28010193>
4. Baliwada A., Rajagopal K., Varakumar P., Raman K., Byran G. A Review on Acridines as Antiproliferative Agents. *Mini-Reviews in Medicinal Chemistry*, 2022, vol. 22, no. 21, pp. 2769–2798. <https://doi.org/10.2174/138955752266622051125744>
5. Denny W. A. Acridine derivatives as chemotherapeutic agents. *Current Medicinal Chemistry*, 2022, vol. 9, no. 18, pp. 1655–1665. <https://doi.org/10.2174/0929867023369277>
6. Vispé S., Vandenberghe I., Robin M., Annereau J. P., Créancier L., Pique V., Galy J. P., Kruczynski A., Barret J. M., Bailly C. Novel tetra-acridine derivatives as dual inhibitors of topoisomerase II and the human proteasome. *Biochemical Pharmacology*, 2007, vol. 73, no. 12, pp. 1863–1972. <https://doi.org/10.1016/j.bcp.2007.02.016>
7. Baguley B. C., Wakelin L. P., Jacintho J. D., Kovacic P. Mechanisms of action of DNA intercalating acridine-based drugs: how important are contributions from electron transfer and oxidative stress? *Current Medicinal Chemistry*, 2003, vol. 10, no. 24, pp. 2643–2649. <https://doi.org/10.2174/0929867033456332>
8. Oppegard L. M., Ougolkov A. V., Luchini D. N., Schoon R. A., Goodell J. R., Kaur H., Billadeau D. D., Ferguson D. M., Hiasa H. Novel acridine-based compounds that exhibit an anti-pancreatic cancer activity are catalytic inhibitors of human topoisomerase II. *European Journal of Pharmacology*, 2009, vol. 602, no. 2–3, pp. 223–229. <https://doi.org/10.1016/j.ejphar.2008.11.044>
9. Gamage S. A., Spicer J. A., Atwell G. J., Finlay G. J., Baguley B. C., Denny W. A. Structure-activity relationships for substituted bis(acridine-4-carboxamides): a new class of anticancer agents. *Journal of Medicinal Chemistry*, 1999, vol. 42, no. 13, pp. 2383–2393. <https://doi.org/10.1021/jm980687m>
10. Deeva E. G., Pavlovskaya Ya. V., Kiselyov O. I., Kiselyov V. I., Piotrovsky L. B., Ershov F. I. The structural-and-functional analysis of the biological activity of acridine derivatives. *Vestnik Rossiiskoi akademii medetsinskikh nauk = Annals of the Russian Academy of Medical Sciences*, 2004, no. 2, pp. 29–34 (in Russian).
11. Rupar J. S., Dobričić V. D., Aleksić M. M., Brborić J. S., Čudina O. A. A review of published data on acridine derivatives with different biological activities. *Kragujevac Journal of Science*, 2018, vol. 40, no. 1, pp. 83–101. <https://doi.org/10.5937/kgjsci1840083r>
13. Makhey D., Yu C., Liu A., Liu L. F., LaVoie E. J. Substituted benz[a]acridines and benz[c]acridines as mammalian topoisomerase poisons. *Bioorganic & Medicinal Chemistry*, 2000, vol. 8, no. 5, pp. 1171–1182. [https://doi.org/10.1016/S0968-0896\(00\)00048-1](https://doi.org/10.1016/S0968-0896(00)00048-1)
14. Nowak K. Chemical structures and biological activities of bis- and tetrakis-acridine derivatives: A review. *Journal of Molecular Structure*, 2017, vol. 1146, pp. 562–570. <https://doi.org/10.1016/J.MOLSTRUC.2017.05.042>
15. Shmidt M. W., Baldrige K. K., Boatz J. A., Elbert S. T., Gordon M. S., Jensen J. H., Koseki S., Matsunaga N., Nguyen K. A., Su S. J., Midus T. L., Dupnis M., Montgomery J. A. General Atomic and Molecular Electronic-Structure System. *Journal of Computational Chemistry*, 1993, vol. 14, no. 7, pp. 1347–1363. <https://doi.org/10.1002/jcc.540141112>
16. Putz M. V., Putz A. M. DFT Chemical Reactivity Driven by Biological Activity: Applications for the Toxicological Fate of Chlorinated PAHs. Putz M., Mingos D. (eds.). *Applications of Density Functional Theory to Biological and Bioinorganic Chemistry. Structure and Bonding*, vol 150. Springer, Berlin, Heidelberg, 2013, pp. 181–231. https://doi.org/10.1007/978-3-642-32750-6_6
17. Petkevich S. K., Kletskov A. V., Kadutskii A. P., Dikusar E. A., Kozlov N. G., Potkin V. I. Synthesis of Alkaloid Analogs Containing Isoxazole and Isothiazole Fragments. *Russian Journal of Organic Chemistry*, 2018, vol. 54, no. 12, pp. 1807–1814. (in Russian). <https://doi.org/10.1134/s1070428018120126>

Інформація об авторах

Дікусар Евгеній Анатольевіч – кандидат хіміческих наук, старший науковий співробітник. Інститут фізико-органічної хімії НАН Беларусь (ул. Сурганова, 13, 220072, Мінськ, Республіка Беларусь). E-mail: dikusar@ifoch.bas-net.by

Акішиніна Екатерина Александровна – науковий співробітник. Інститут фізико-органічної хімії НАН Беларусь (ул. Сурганова, 13, 220072, Мінськ, Республіка Беларусь). E-mail: che.semenovaea@mail.ru

Ковалська Светлана Степановна – кандидат хіміческих наук, старший науковий співробітник. Інститут фізико-органічної хімії НАН Беларусь (ул. Сурганова, 13, 220072, Мінськ, Республіка Беларусь). E-mail: kovalskaya_61@mail.ru

Жуковская Неля Александровна – науковий співробітник. Інститут фізико-органічної хімії НАН Беларусь (ул. Сурганова, 13, 220072, Мінськ, Республіка Беларусь). E-mail: neliya_zhukovskaya@mail.ru

Поткін Володимир Іванович – академік, доктор хіміческих наук, професор, завідувач лабораторією. Інститут фізико-органічної хімії НАН Беларусь (ул. Сурганова, 13, 220072, г. Мінськ, Беларусь). E-mail: potkin@ifoch.bas-net.by

Information about the authors

Dikusar Evgenij A. – Ph. D. (Chemistry), Senior Researcher. Institute of Physical Organic Chemistry of the National Academy of Sciences of Belarus (13, Surganov Str., 220072, Minsk, Republic of Belarus). E-mail: dikusar@ifoch.bas-net.by

Akishina Ekaterina A. – Researcher. Institute of Physical Organic Chemistry of the National Academy of Sciences of Belarus (13, Surganov Str., 220072, Minsk, Republic of Belarus). E-mail: che.semenovaea@mail.ru

Koval'skaya Svetlana S. – Ph. D. (Chemistry), Senior Researcher. Institute of Physical Organic Chemistry of the National Academy of Sciences of Belarus (13, Surganov Str., 220072, Minsk, Republic of Belarus). E-mail: kovalskaya_61@mail.ru

Zhukovskaya Neliya A. – Researcher. Institute of Physical Organic Chemistry of the National Academy of Sciences of Belarus (13, Surganov Str., 220072, Minsk, Republic of Belarus). E-mail: neliya_zhukovskaya@mail.ru

Potkin Vladimir I. – Academician, Dr. Sc. (Chemistry), Professor, Head of the Laboratory. Institute of Physical Organic Chemistry of the National Academy of Sciences of Belarus (13, Surganov Str., 220072, Minsk, Republic of Belarus). E-mail: potkin@ifoch.bas-net.by